

京都大学工学部 正員 石原藤次郎
 京都大学工学部 正員 ○尾島 勝
 京都大学大学院 学生員 古賀 泰文

[1] まえがき 饱和した砂層に振動力あるいは衝撃力が作用するとき、動的圧間げき水圧が発生すること、さらに場合によつてはこれが中の流動化現象が起つことは、すでに指摘されてゐるところである。しかしながら、これらの現象の力学的機構の解説は、十分であるとはいへない。我々は、本年度の関西支部年次學術講演会において、我々の考え方を若干報告したが¹⁾、さらに実験を行ふ考察を加えたので、ここに報告する。

[2] 実験概要・結果 実験の概要については既報のとおりであるので省略する。実験時の諸データを表-1に一括して示した。表-2は、底から2.5cmの位置に設置された水圧計によって測定された動的過剰間げき水圧の解析結果を示したものである。表中の各記号はつきの諸量を表す。 h :水深、 d :砂層厚、 ΔS :沈下量、 \bar{n} :砂層平均間げき率、 δ' :飽和砂の有効単位体積重量、 σ_2 :動的過剰間げき水圧、 a :振動加速度、 t :時間、 Z :底からの距離、 n :お添字 $0, e, s, p$ は、それぞれ、振動開始時、終了時、 σ_2 上昇開始時、最大値到達時を意味する。

[3] 発生期における動的過剰間げき水圧 動的過剰間げき水圧(σ_2)は、砂層厚さに応じて3~4点において測定されたが、表-2には、最も深く測定されたZ=2.5cmにおける解析結果を示した。

σ_2 の上昇開始加速度は、60~120 galと比較的小さく、本実験では砂層厚さ、間げき率、振動条件などの相違による顕著な差異は認められなかつたが、本実験だけからでは、これらの要素の影響度を定量的に分析することはできなかつた。 σ_2 発生後も振動力は漸次増加せられ、その通常最大加速度は表中によらずにとおり、 σ_2 発生時よりもかなり大きい。さらに σ_{2max} 時に対応する加速度も表中に示したが、この値を σ_{2max} を得るに必要な加速度であるとすることは誤りである。すなはち、 σ_2 の

表-1 標準砂実験データ

実験番号	振動条件 c/s mm	h_0 cm	d_0 cm	d_e cm	ΔS cm	$\Delta S/d_0$	n_0	n_e	δ' gr/cm^3
1	5	3.5	13.2	13.2	1.1	1.3	0.097	0.420	0.356 0.900
2	"	4.0	13.6	13.2	1.3	0.9	0.068	0.420	0.376 0.900
3	"	-	13.3	13.1	1.25	0.75	0.057	0.414	0.379 0.912
4	"	5.0	13.6	13.1	1.0	1.1	0.084	0.418	0.364 0.901
5	"	4.9	13.6	13.3	1.23	1.0	0.075	0.423	0.376 0.900
6	10	0.8	13.7	13.5	1.25	0.85	0.064	0.428	0.387 0.893
7	"	0.9	13.6	13.3	1.24	0.9	0.068	0.423	0.382 0.900
8	"	1.0	13.6	13.3	1.25	0.95	0.073	0.423	0.379 0.900
9	"	1.3	13.5	13.3	1.22	1.1	0.083	0.423	0.373 0.900
10	"	1.4	13.6	13.4	1.21	1.3	0.097	0.429	0.367 0.890
11	5	6.0	20.8	20.3	18.35	1.95	0.096	0.403	0.348 0.968
12	"	2.9	20.8	20.2	18.8	1.4	0.069	0.401	0.356 0.971
13	"	3.5	20.8	20.6	18.65	1.95	0.095	0.411	0.350 0.955
14	"	3.1	20.5	20.2	18.75	1.45	0.072	0.401	0.354 0.970
15	10	-	20.9	20.6	18.95	1.65	0.080	0.411	0.361 0.955
16	"	0.7	20.7	20.4	19.3	1.1	0.054	0.407	0.373 0.963
17	"	-	20.8	20.3	19.2	1.1	0.054	0.403	0.369 0.968

表-2 実験結果

Ex. No.	t_s sec	t_p sec	σ_{2max} gal	α_{ts} gal	α_{tp} gal	α_{max} gal	$t_p - t_s$ sec	$t_e - t_p$ sec	$\delta(\Delta S)^2$ σ_{2max}^2
1	0.8	2.0	8.0	120	227	294	1.2	-	9.6 0.83
2	-	-	7.8	-	290	298	-	-	9.6 0.81
3	0.6	1.4	7.2	78	173	254	0.8	31	9.7 0.74
4	0.8	3.2	6.0	86	320	350	2.4	33	9.6 0.63
5	0.8	1.6	6.5	62	110	263	0.8	32	9.7 0.67
6	6.8	8.1	6.9	70	110	166	1.3	24	9.7 0.71
7	4.6	6.4	6.8	90	150	216	1.8	22	9.7 0.70
8	3.2	4.6	6.6	90	134	235	1.4	27	9.7 0.68
9	3.2	4.2	7.0	86	122	309	1.0	30	9.7 0.72
10	4.4	5.6	7.4	75	105	265	1.2	29	9.7 0.76
11	0.5	3.0	12.0	-	-	-	2.5	-	17.2 0.70
12	0.4	1.6	10.1	67	141	254	1.2	43	17.2 0.59
13	0.4	2.8	12.5	62	290	300	2.4	55	17.3 0.72
14	1.0	2.8	11.9	106	236	236	1.8	45	17.2 0.69
15	4.0	9.6	12.0	95	240	240	5.6	43	17.3 0.69
16	3.0	5.2	13.3	68	128	162	2.2	37	17.2 0.71
17	2.4	3.6	11.9	80	118	155	1.2	28	17.2 0.69

発生期は振動が表面に至らない状態であり、このような実験方法によつては σ_2 の最大値を与える加速度を適確に測定することは不可能であろう。

図-1は σ_2 の上界速度を推定しようとするものである。測定値にかかづのバラツキがみられるが、ほぼ毎秒6%程度である。 σ_2 の上界速度と砂層の流動化の進行速度とは後述するように密接な関連を持つから、さらに多くの繰り返し実験を行ない、このような定量的把握が可能となれば、流動化現象の定量的把握も可能である。

④ 砂層の流動化 従来、砂層の流動化は、間げき水圧以上昇することに基づき、砂層の表層部からある深さまで一時的に砂粒子を懸濁した液状になり、支持力を失う現象として認識されてきた。したがって、流動化した砂層の動的過剰間げき水圧は、その懸濁液の静圧に等しい値 $\sigma_2(d_0-z)$ になるとされる。本実験においては、砂層が完全に流動化するに十分であると思われる比較的大きな振動力を与えたにもかかわらず、表-2によつては $Z=2.5\text{ cm}$ における $\sigma_{2\max}/\sigma_2(d_0-z)$ の値は、0.6~0.8にすぎない。ところで、実験1~10と実験11~17では砂層厚が異なる。したがって、従来どおりの考え方を踏襲するならば、同程度の振動力によつては、同程度の砂層まで流動化することになる。したがって、 $\sigma_{2\max}/\sigma_2(d_0-z)$ の値は、これら2つの実験ケースによつて異ならなければならぬ。さらに図-2には深さの異なる2測点の σ_2 の時間的変化を示したが、 $Z=7.5\text{ cm}$ における $\sigma_{2\max}/\sigma_2(d_0-z)$ の値も0.8程度である。このことは、流動化時の砂層構造を懸濁液とみなすことの問題点を指摘するものであり、砂粒子が互に力を及ぼし合はない、すなわち接触してしないとする考え方をもう一度検討しながる必要があることを示すものである。

振動力は砂層全体の skeleton に伝播されるから、間げき水は個々の粒子 skeleton から、それを離れて静止状態とは異なる抵抗力を及ぼるものと考えられる。したがって、 σ_2 の発生が必ずしも上層部から起こるとはいえない。したがって、厳密には σ_2 の上界速度 = 流動化の進行速度とはいえないが、巨視的にみればいえるであろう。

図-3には、図-2に示した実験における砂層の間げき率の変化を示した。図から明らかなように、 σ_2 の発生期においては間げき率はほとんど減少しない。砂層の沈下は σ_2 の減衰期における現象である。²⁾

- 参考文献
 1) 石原・尾島: 實地観察和砂層の流動化時ににおける間げき水圧挙動について、昭和44年度地盤工学研究年譲概要、II-12.
 2) 石原・尾島: "振動時の間げき水圧に関する基礎的研究" 京都大学防災研究所年報第12号B、昭和44年3月。

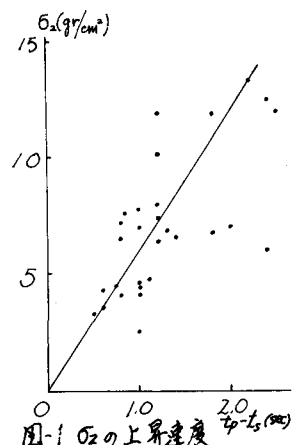


図-1 σ_2 の上界速度

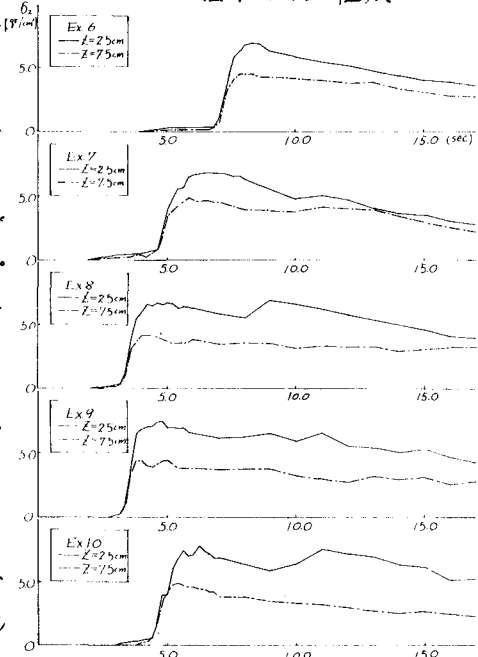


図-2 σ_2 の時間的変化

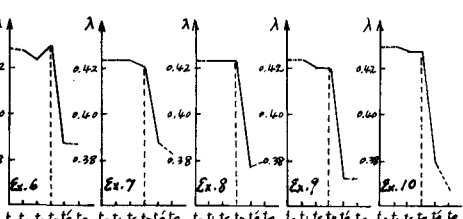


図-3 間げき率の変化